

LANCÉ

Servicio Clima Espacial

<http://www.sciesmex.unam.mx>

Reporte Semanal



AEM
AGENCIA ESPACIAL MEXICANA



CENAPRED
CENTRO NACIONAL DE
PREVENCIÓN DE DESASTRES

Reporte semanal: del 01 al 07 de febrero de 2019

CONDICIONES DEL SOL

Regiones activas: 1

Hoyos coronales: múltiples, dispersos en el disco solar.

Fulguraciones solares: 0

Eyecciones de masa coronal: 1 (cerca del ecuador y sobre el limbo oeste solar)

CONDICIONES DEL MEDIO INTERPLANETARIO

Se registró una región de compresión el 1 de febrero.

CONDICIONES DE LA MAGNETÓSFERA

Índice K local: no se registraron tormentas.

Índice Dst: no se registraron perturbaciones.

CONDICIONES DE LA IONOSFERA

No se registraron perturbaciones ionosféricas.

Reporte semanal: del 01 al 07 de febrero de 2019

PRONÓSTICOS

Viento solar:

Velocidades en el rango de 500-600 km/s y la densidad del plasma se mantendrá sin variaciones significativas. No se espera la llegada de alguna EMC.

Fulguraciones solares:

Baja probabilidad de fulguraciones.

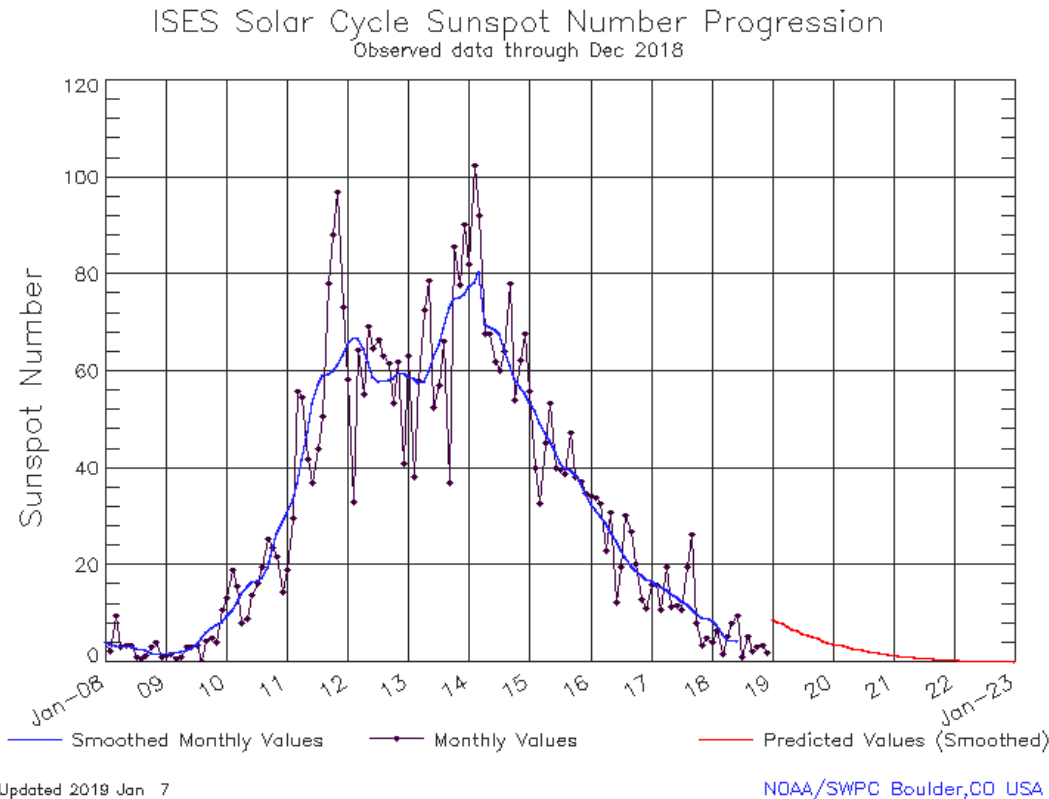
Tormentas geomagnéticas/ionosféricas:

No es probable que se presenten perturbaciones geomagnéticas y alteraciones ionosféricas.

Tormentas de radiación solar:

Baja probabilidad de tormentas.

Ciclo de manchas solares y la actividad solar

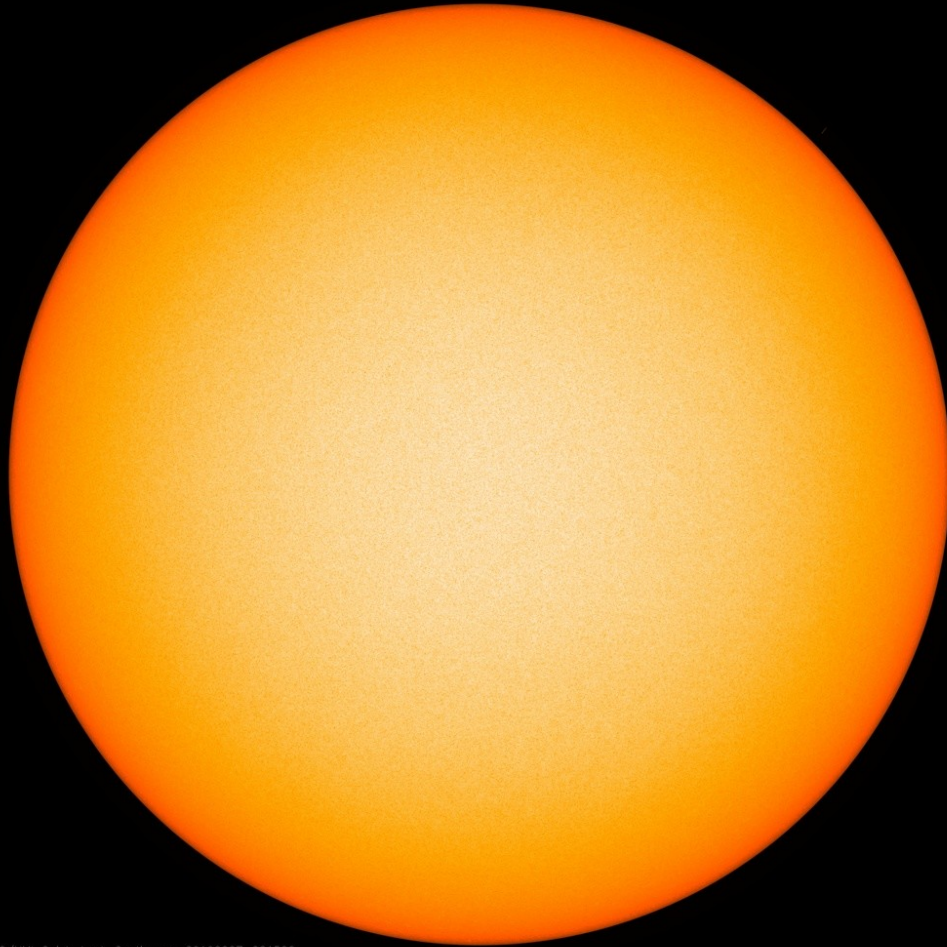


La figura muestra el conteo del número de manchas solares desde enero del 2000.

Entre más manchas solares presente el Sol, es mayor la posibilidad de que ocurra una tormenta solar.

Estamos acercándonos al mínimo de manchas solares del ciclo 24.

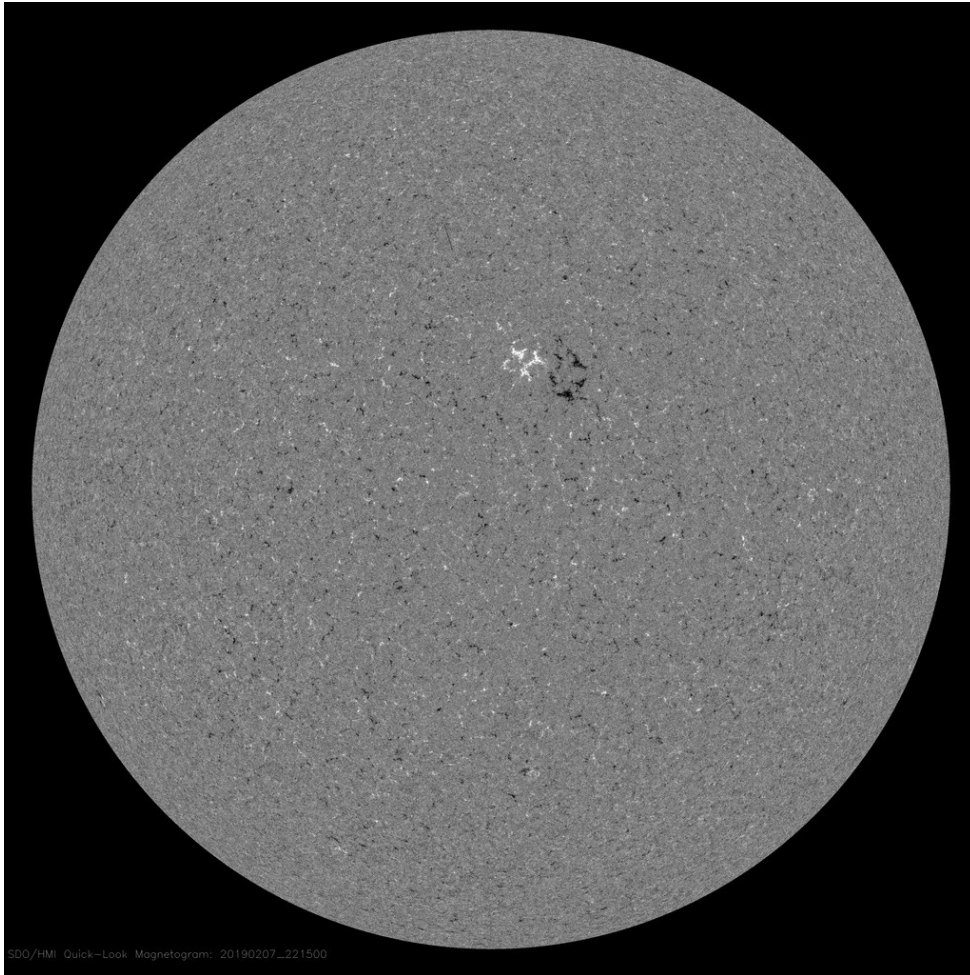
<http://www.swpc.noaa.gov/products/solar-cycle-progression>



La fotosfera es la zona “superficial” del Sol, donde aparecen las manchas solares. Regiones oscuras formadas por material más frío que sus alrededores y que contienen intensos campos magnéticos. Las manchas solares están relacionadas con la actividad solar.

En la fotosfera no se observan manchas solares.

<http://sdo.gsfc.nasa.gov/>



Un magnetograma solar permite identificar las regiones de intensos campos magnéticos solares. En general, estos campos magnéticos están asociados a manchas solares.

Las regiones de color blanco (negro) son zonas por donde salen (entran) líneas de campo magnético, correspondientes a polaridad positiva (negativa).

El magnetograma muestra regiones de distinta polaridad pequeñas y dispersas. Sugiriendo pocas probabilidades de actividad solar.

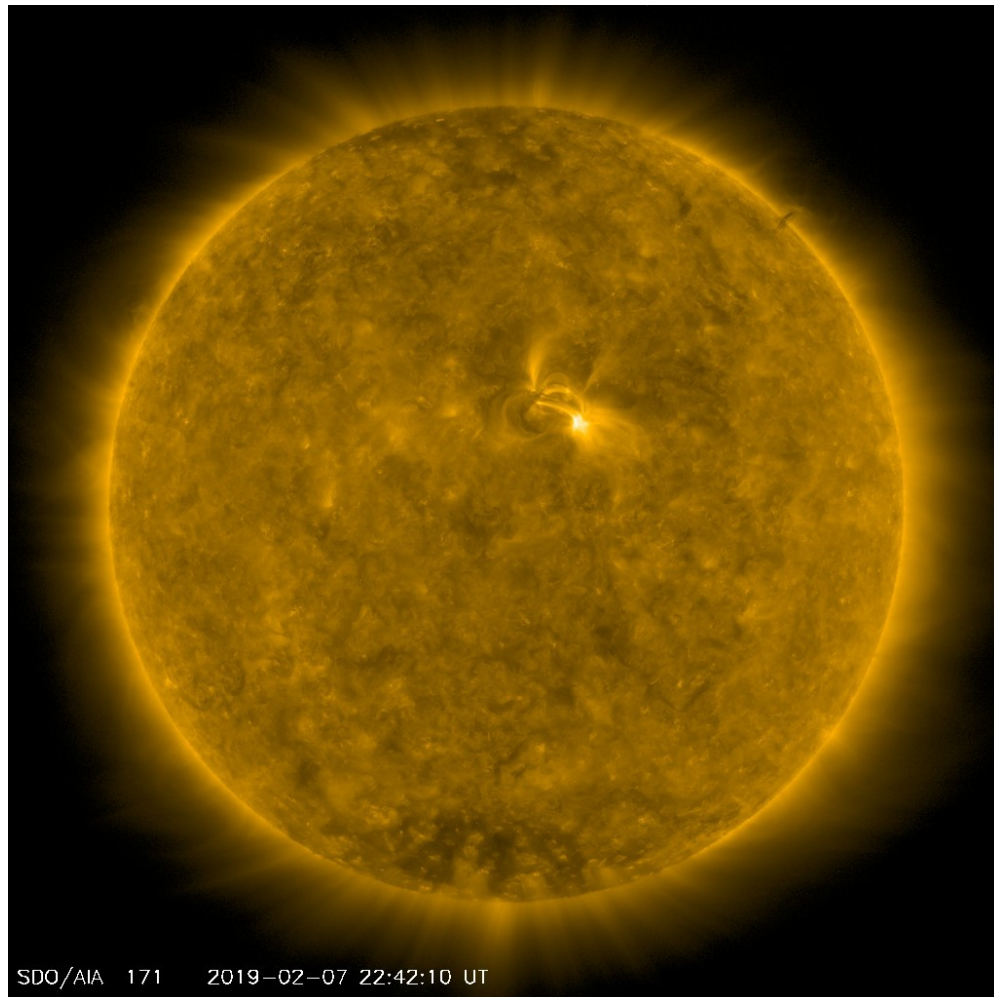
<http://sdo.gsfc.nasa.gov/>

Atmósfera solar y regiones activas

El Sol en rayos X suaves (171 Å). La emisión de Fe IX y X revela la estructura magnética en la región de la atmósfera solar llamada corona solar que se encuentra a 630,000 K.

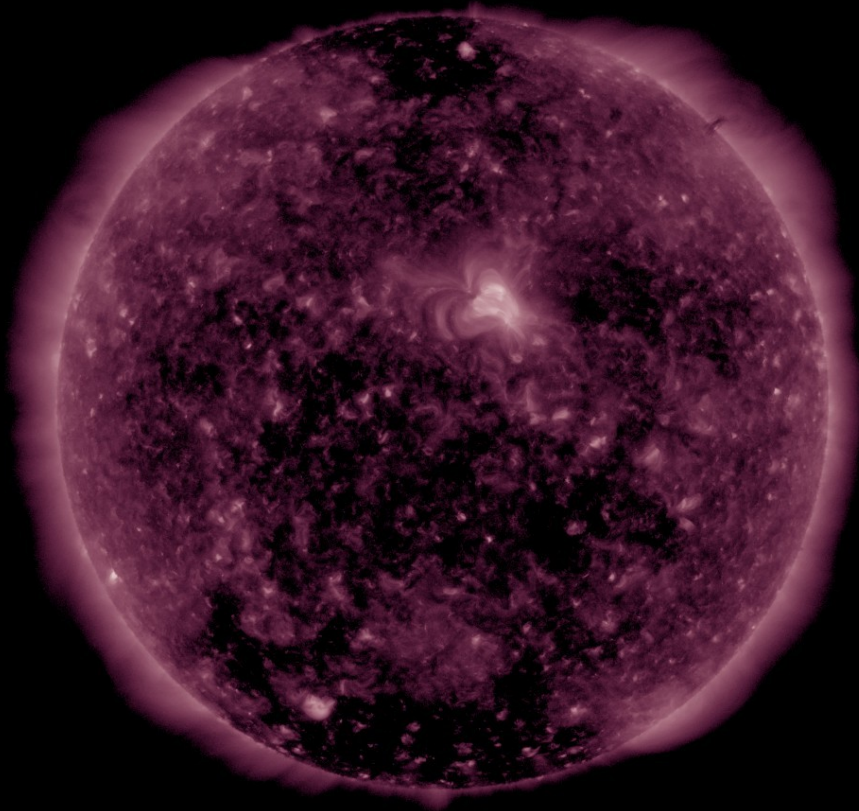
Las regiones activas (zonas claras) son los lugares donde se presentan los fenómenos de actividad solar más importantes. Las regiones activas están regularmente asociadas a las manchas solares.

Se observa una región activa en la zona central del disco solar.



SDO/AIA 171 2019-02-07 22:42:10 UT

<http://sdo.gsfc.nasa.gov/>



El Sol en rayos X suaves (211 Å). La emisión de Fe XIV revela la estructura magnética en la alta corona que se encuentra a 2,000,000 K.

Los hoyos coronales (regiones oscuras) son regiones de campo magnético solar localmente abierto. Los hoyos coronales son fuente de las corrientes de viento solar rápido.

Se observan varios hoyos coronales a lo largo del disco solar. Estas regiones pueden emitir viento solar rápido que afecte a la Tierra durante la próxima semana.

SDO/AIA 211 2019-02-07 22:39:23 UT

<http://sdo.gsfc.nasa.gov/>

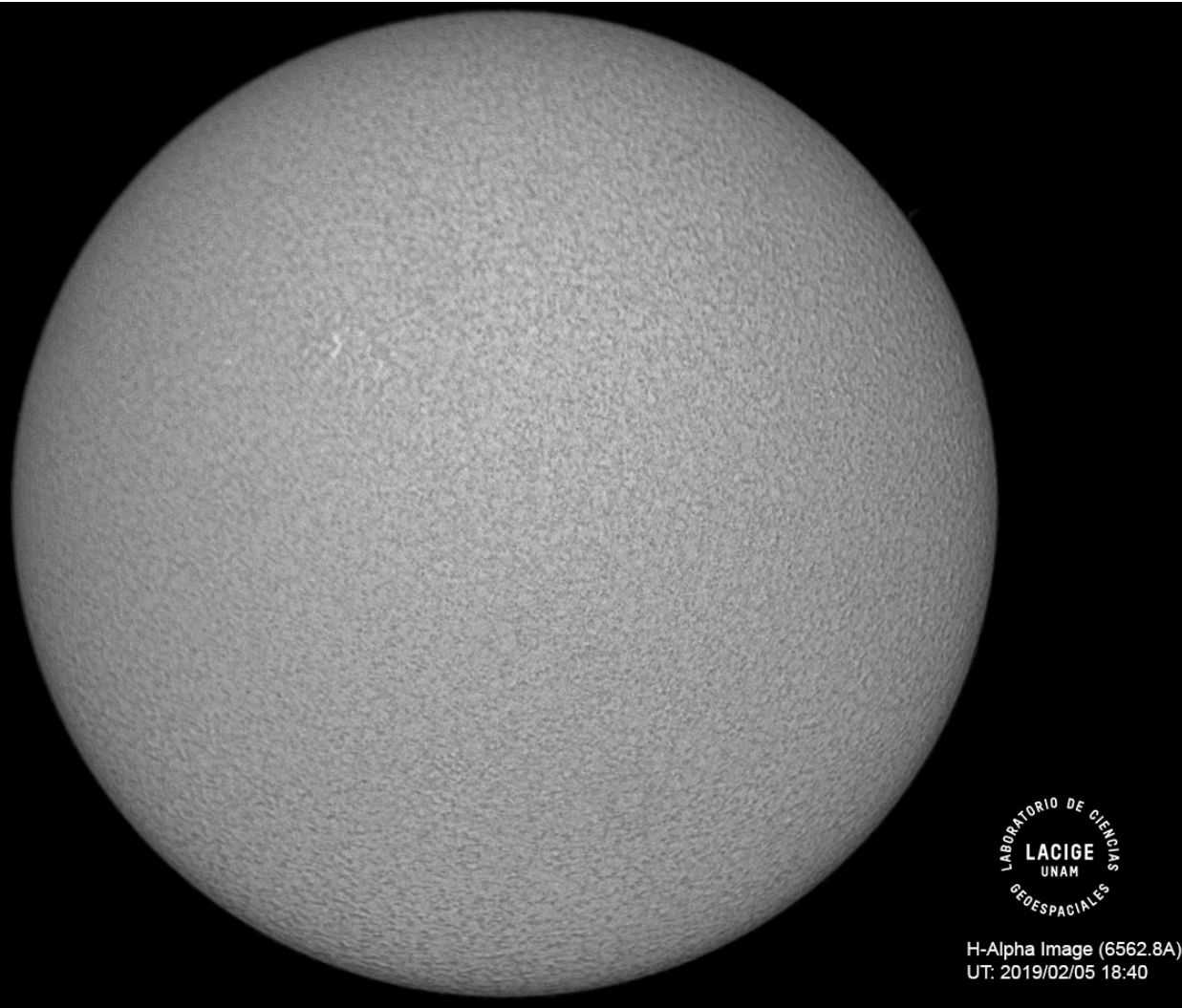
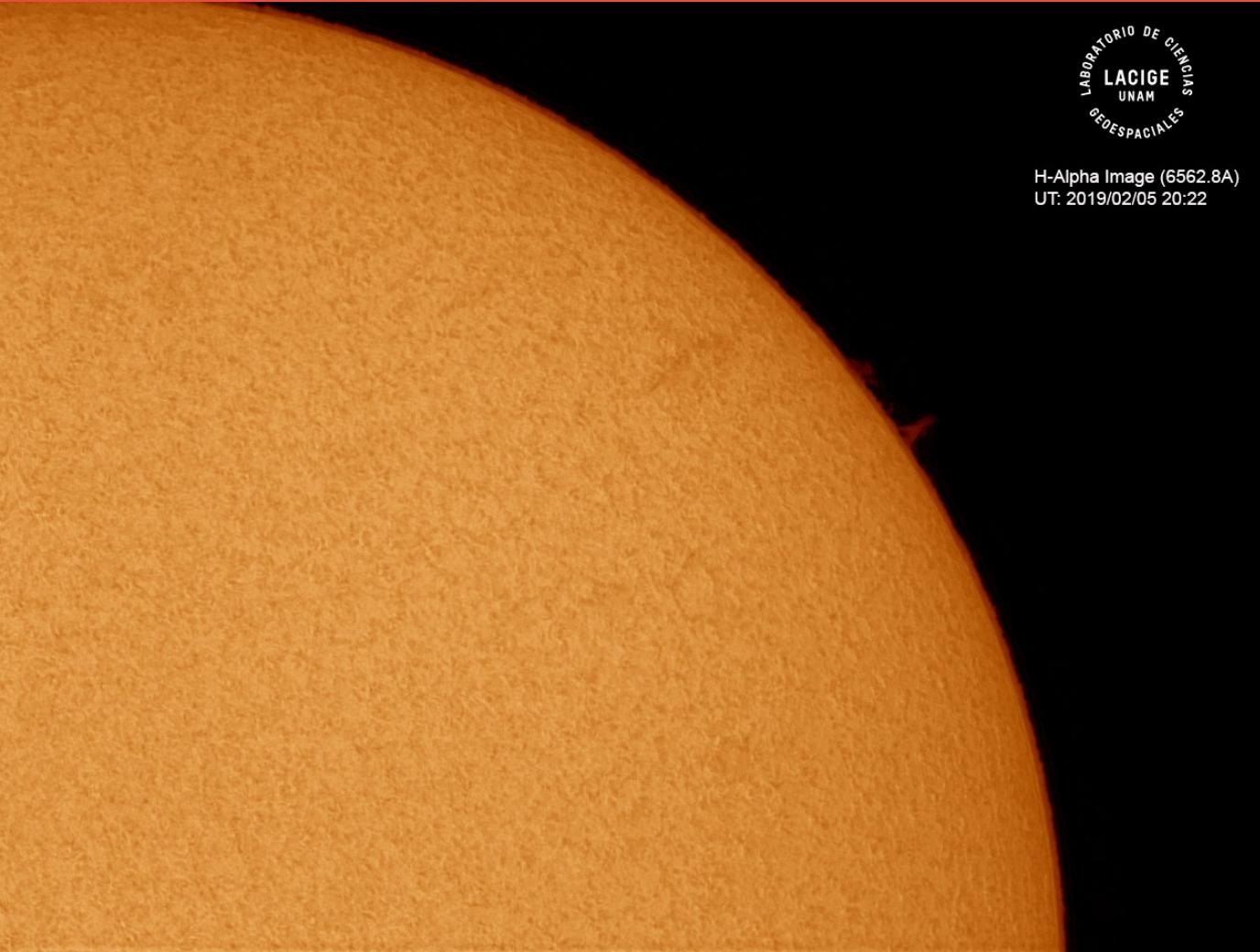


Imagen de la cromosfera solar en H-Alpha (6562.8 \AA) para el día 05/02/2019, 18:40 hrs TU.

No se observaron regiones activas para esta fecha.



H-Alpha Image (6562.8Å)
UT: 2019/02/05 20:22

Imagen de la cromosfera solar en H-Alpha (6562.8 Å) para el día 05/02/2019, 20:22 TU.

Esta imagen muestra un acercamiento al noroeste del disco solar. No se observan regiones activas para esta fecha, aunque si se observó una protuberancia.



UH-Alpha Image (6562.8Å)
UT:2019/02/07 19:51

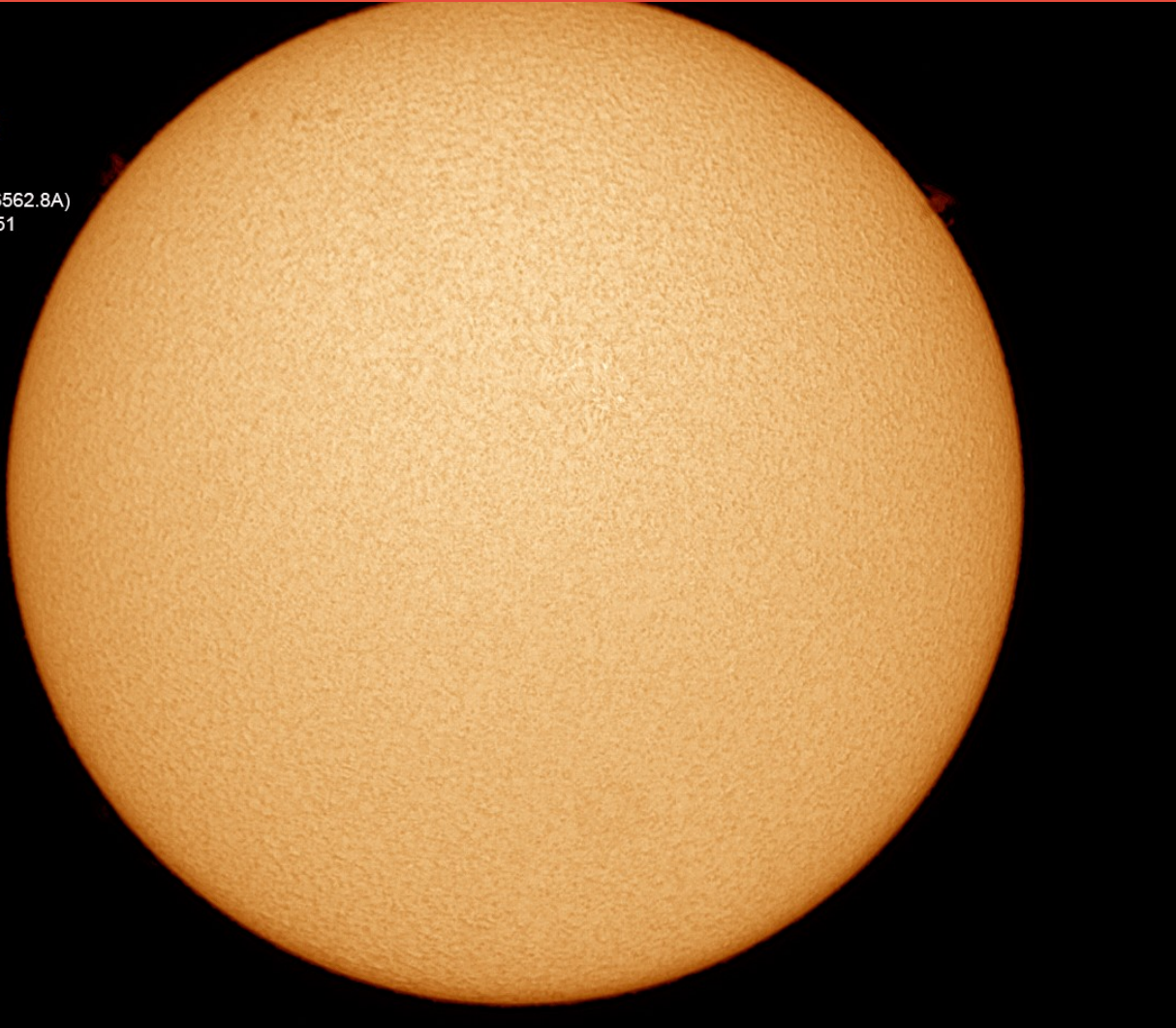


Imagen de la cromosfera solar en H-Alpha (6562.8 Å) para el día 07/02/2019, 19:51 hrs TU.

No se observan regiones activas en el disco solar para esta fecha.



UH - Alpha Image (6562.8A)
UT: 2019/02/07 19:56

Imagen de la cromosfera solar en H-Alpha (6562.8 \AA) para el día 07/02/2019, 19:56 TU.

Esta imagen muestra un acercamiento al noroeste del disco solar. No se observan regiones activas para esta fecha.

Actividad solar: Fulguraciones solares

Flujo de rayos X solares detectado por los satélites GOES.

Los datos mostrados por el satélite GOES no presentaron fulguraciones solares durante la semana.

Las consecuencias para nuestro planeta han sido poco significativas.

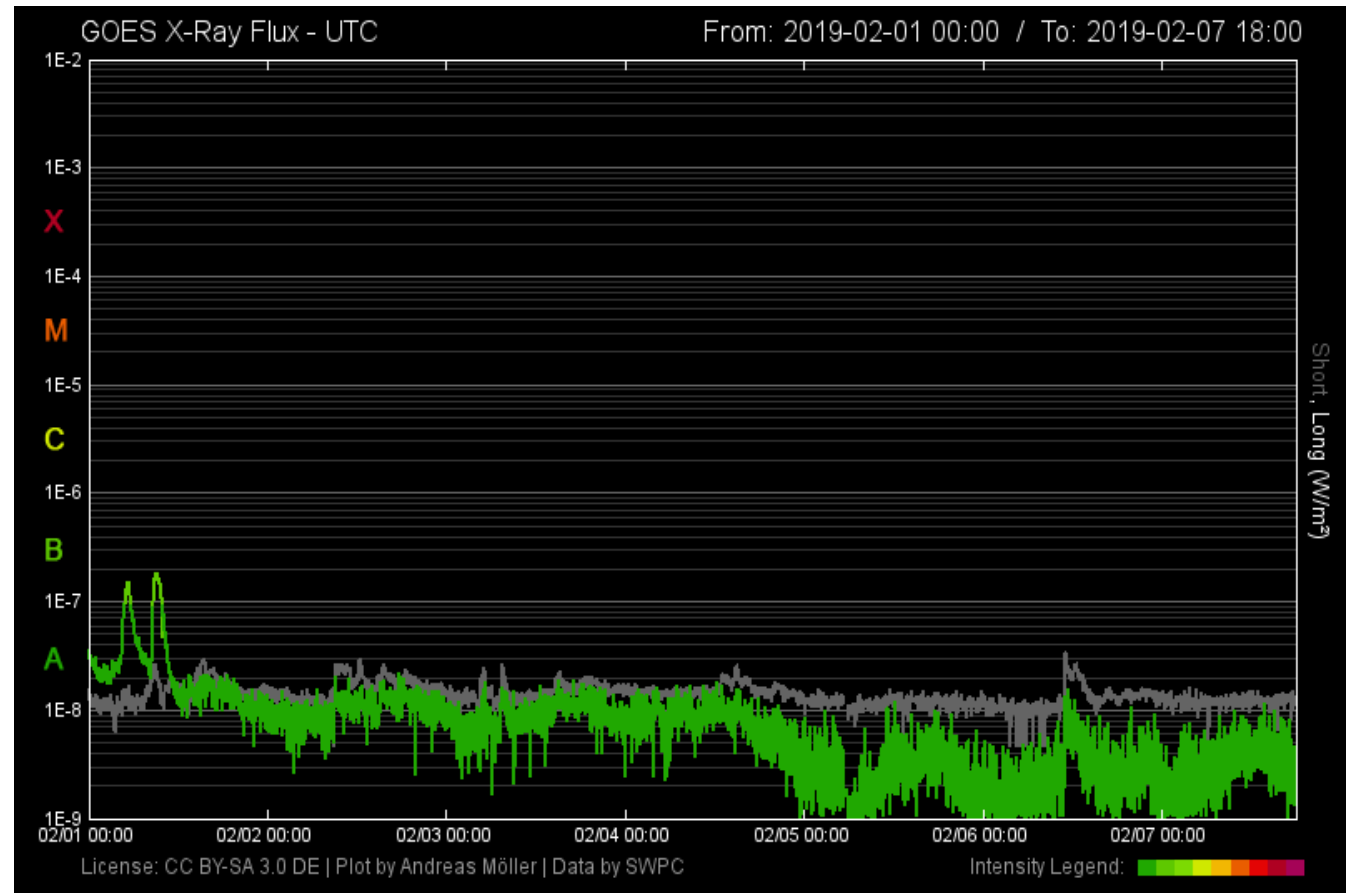


Imagen: <http://services.swpc.noaa.gov/images/goes-xray-flux.gif>

Eyecciones de Masa Coronal (EMCs): **LANC** *observación de coronógrafos*

Servicio Clima Espacial

>> Febrero 7, 02:36h

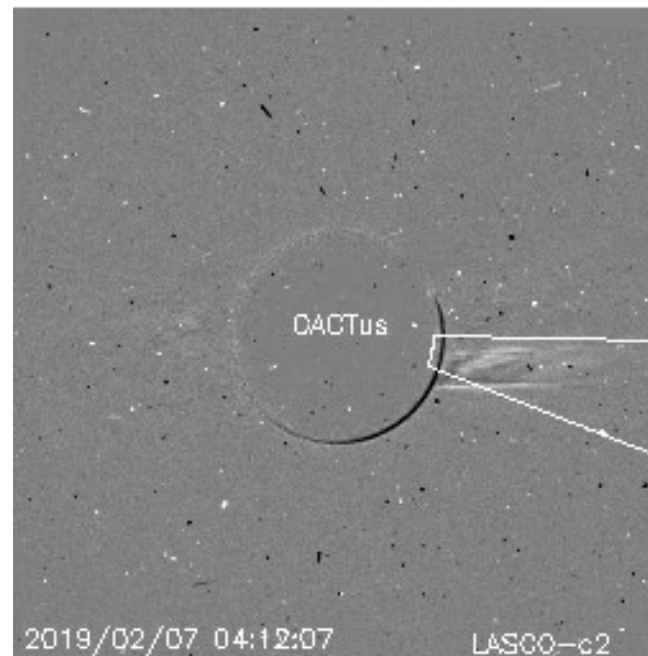
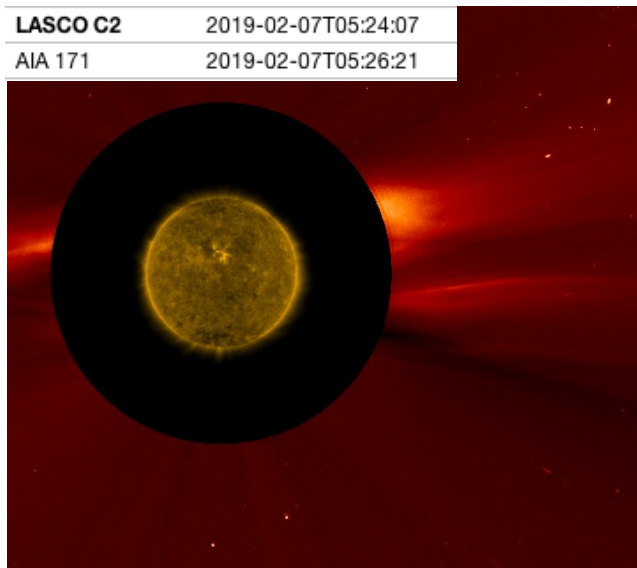
- EMC observada por SOHO/LASCO C2 y C3.
- La eyección de material se observa cerca del ecuador y sobre el limbo oeste solar.

Velocidad máxima	433 km/s
Posición angular	259°
Ancho angular	20 °

Relevancia

*Eventos eruptivos solares de gran escala que eyectan plasma y campo magnético hacia el medio interplanetario (IP).

*Las EMCs están relacionadas con las tormentas geomagnéticas de mayor intensidad y son capaces de impulsar ondas de choque y acelerar partículas en el medio IP.



Crédito imágenes y valores estimados:

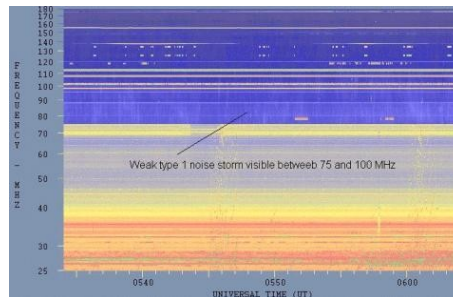
SOHO, the Solar & Heliospheric Observatory
SDO, Solar Dynamic Observatory

Jhelioviewer, ESA/NASA Helioviewer Project.
CACTus CME catalog. SIDC at the Royal Observatory of Belgium

Tipos de estallidos de radio solares

Tipo I: Estallidos cortos y banda de emisión estrecha. Ocurren en un gran número sobre un continuo de emisión. Duración de 1 s y en tormenta de horas a días.

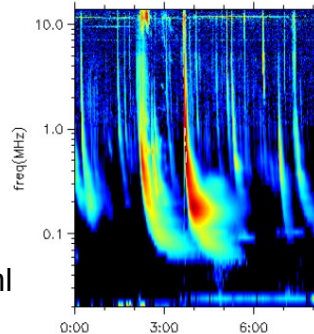
Se asocian con regiones activas, fulguraciones y protuberancias eruptivas



spaceacademy.net.au/env/sol/solradp/solradp.htm

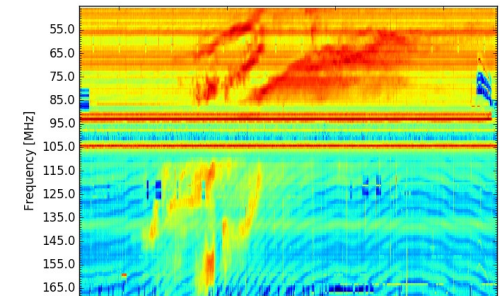
Tipo III: Estallidos de deriva rápida, con duración de pocos segundos en el rango métrico. Tienen anchos de emisión amplios. Son producidos en fulguraciones donde son expulsados a velocidades relativistas.

Se pueden presentar también como tormentas de estallidos.



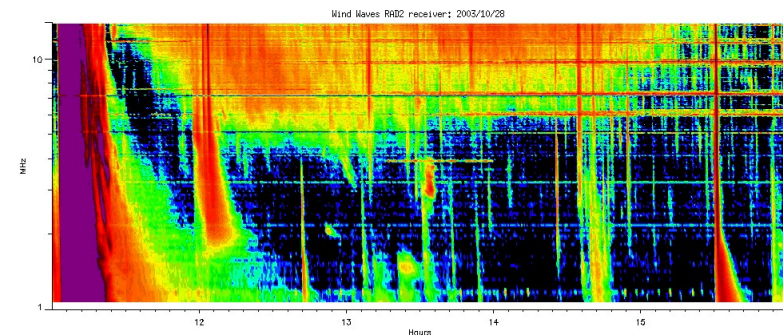
ssed.gsfc.nasa.gov/waves/data_products.html

Tipo II: Estallidos de deriva lenta. Son la firma de ondas de choque, producidas por fulguraciones o EMCs, que se propagan cerca del Sol y medio interplanetario. Presentan anchos de de emisión estrechos que derivan a frecuencias menores.



www.rice.unam.mx/callisto

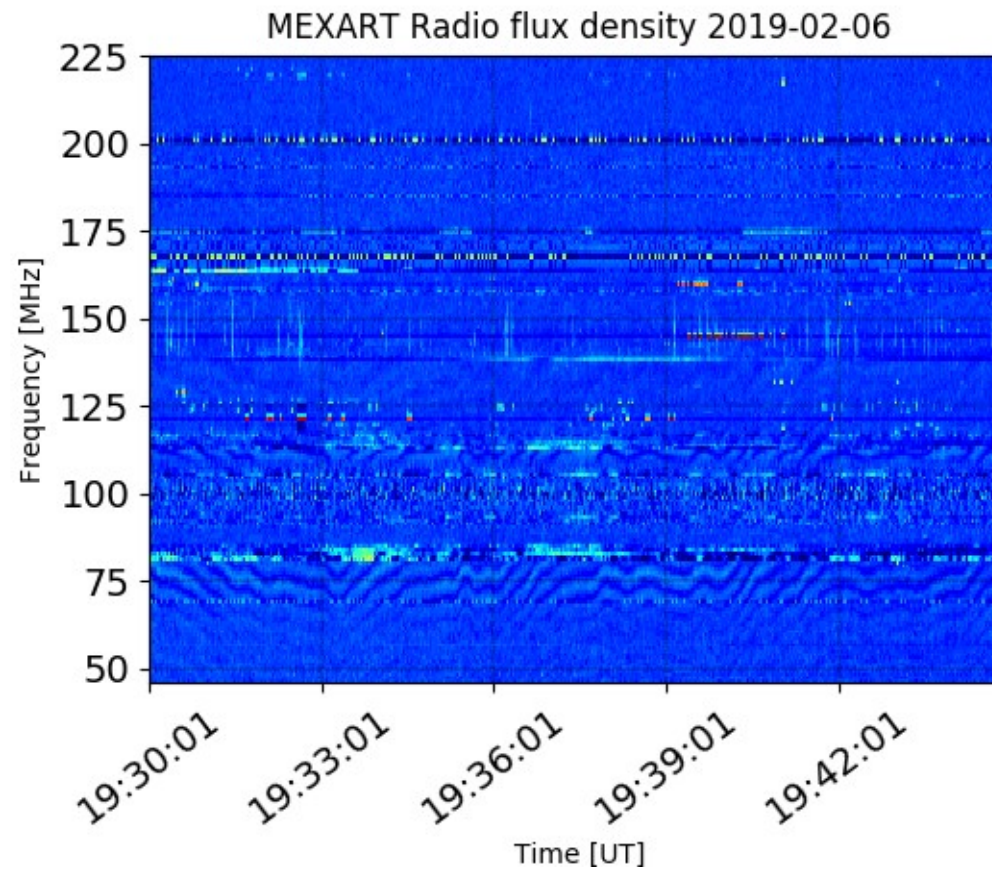
Tipo IV: Se relacionan con fulguraciones, tienen anchos de banda amplios y pueden durar horas.



https://ssed.gsfc.nasa.gov/waves/data_products.html

Estallidos de radio solares: Observaciones de Callisto-MEXART

Callisto-MEXART no detectó estallidos de radio solares esta semana.



- <http://www.rice.unam.mx/callisto/lightcurve/2019/02>

Medio interplanetario: El viento solar cercano a la Tierra

Modelo numérico WSA-ENLIL.

El modelo pronostica un ambiente solar terrestre dominado por corrientes de viento solar rápido con velocidades de 600 km/s y algunas corrientes de 500 km/s. La densidad del plasma no presentará cambios significativos. No pronostica la llegada de alguna EMC para los próximos días.

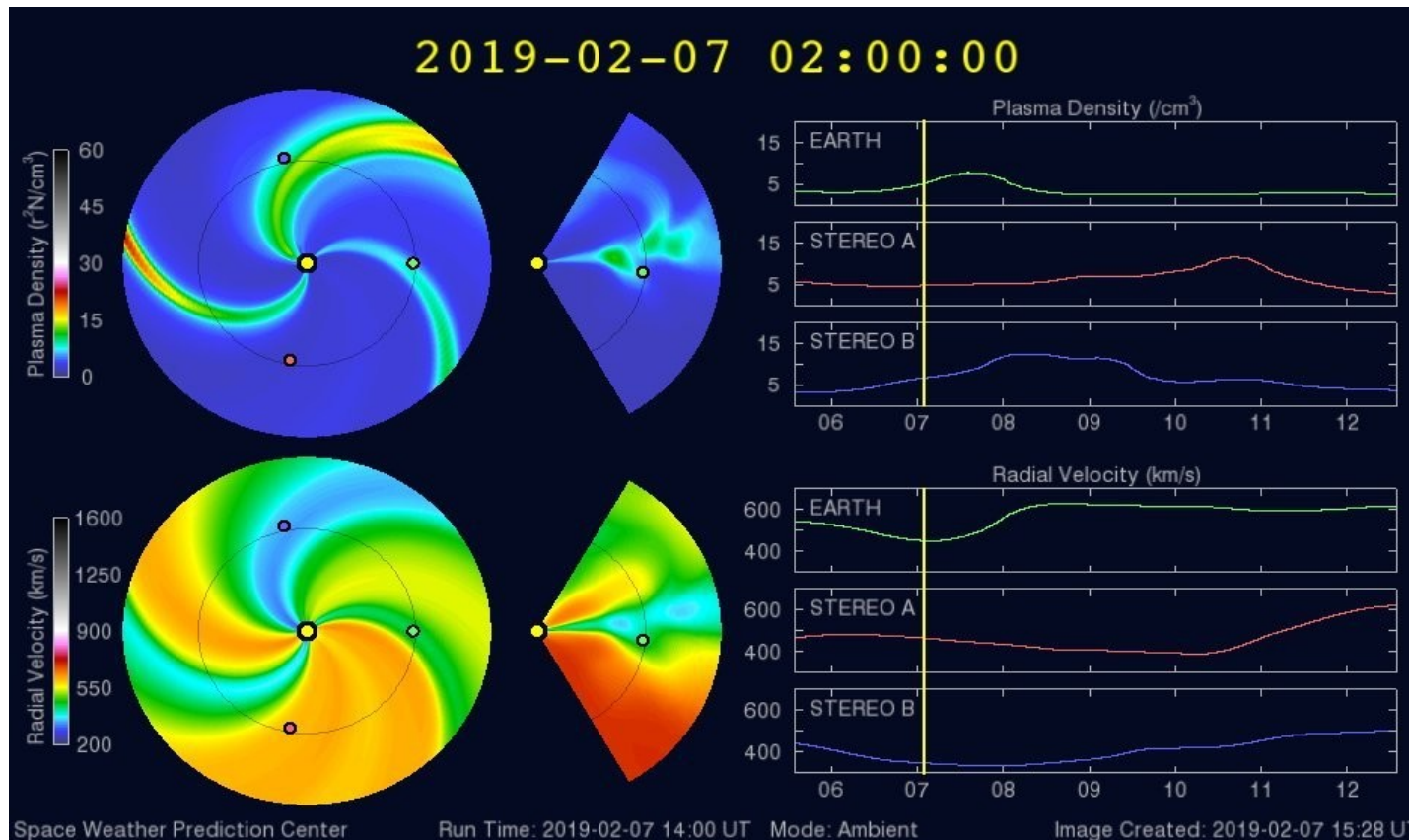
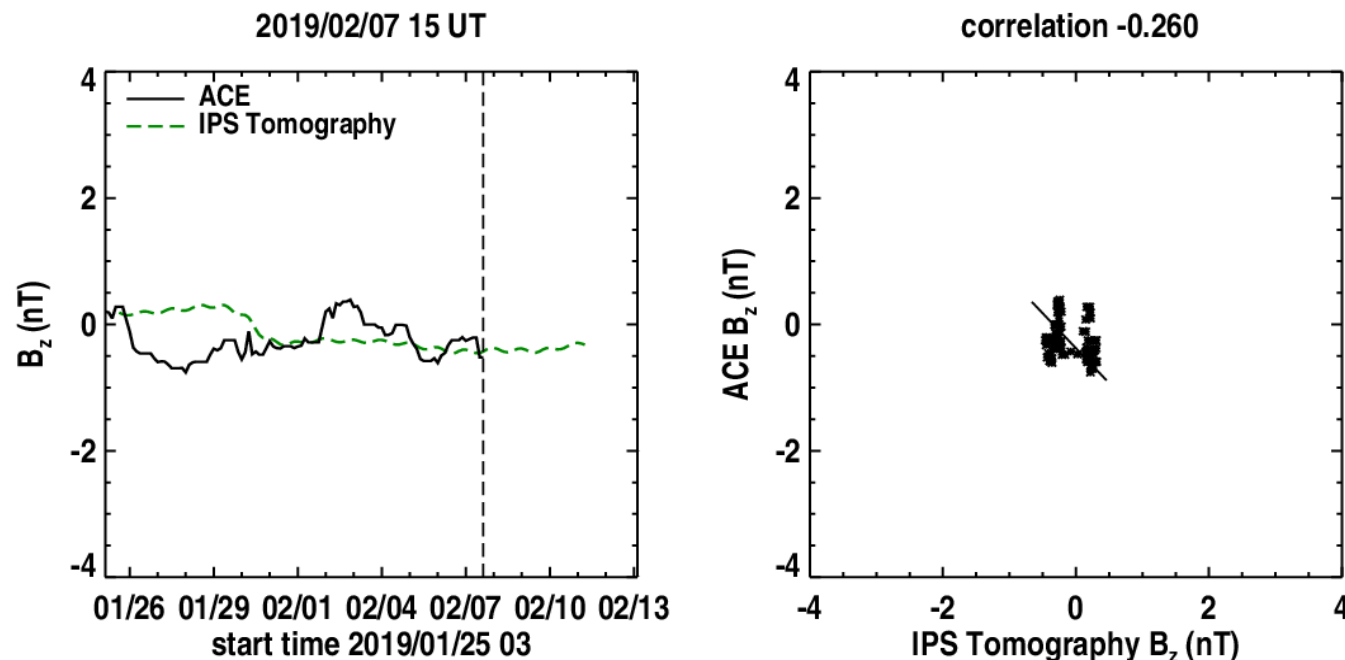


Imagen: <http://www.swpc.noaa.gov/products/wsa-enlil-solar-wind-prediction>

Medio interplanetario: Pronóstico de Bz en L1

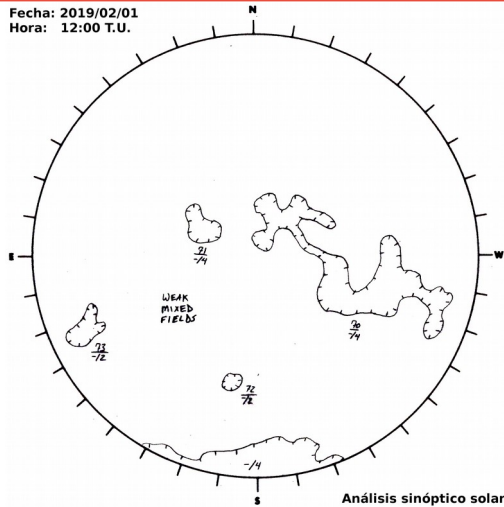
Pronóstico de la componente Bz del viento solar cercano a la Tierra usando la tomografía con datos IPS.



(Izquierda) Se pronostica una componente B_z negativa. **(Derecha)** La comparación con las observaciones del Advanced Composition Explorer (ACE) no indican una correlación en el último pronóstico.

Imagen: http://ips.ucsd.edu/high_resolution_predictions

Medio interplanetario: Región de interacción de viento solar



Al inicio de la semana observamos el final de la región de compresión (área sombreada en imagen 3) y el paso del viento solar rápido cuyo origen es un hoyo coronal ecuatorial de polaridad negativa (imagen 1). Dicha región generó una tormenta geomagnética menor ($K_p=5$, $K_{mex}=5$, $Dst=-27$ nT, $Dst_{mex}>-40$ nT). En la imagen 2 observamos la descendencia de la hoja de corriente hacia el plano de la eclíptica (región sombreada en amarillo).

Imagen 1: ftp://ftp.swpc.noaa.gov/pub/synoptic_maps/

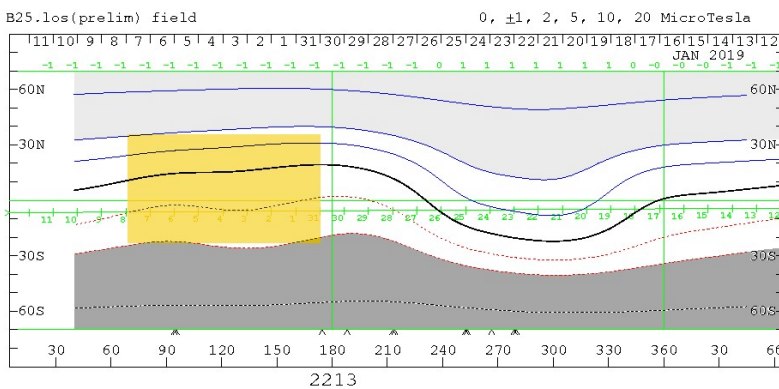


Imagen 2: <http://wso.stanford.edu/SYNOP/>

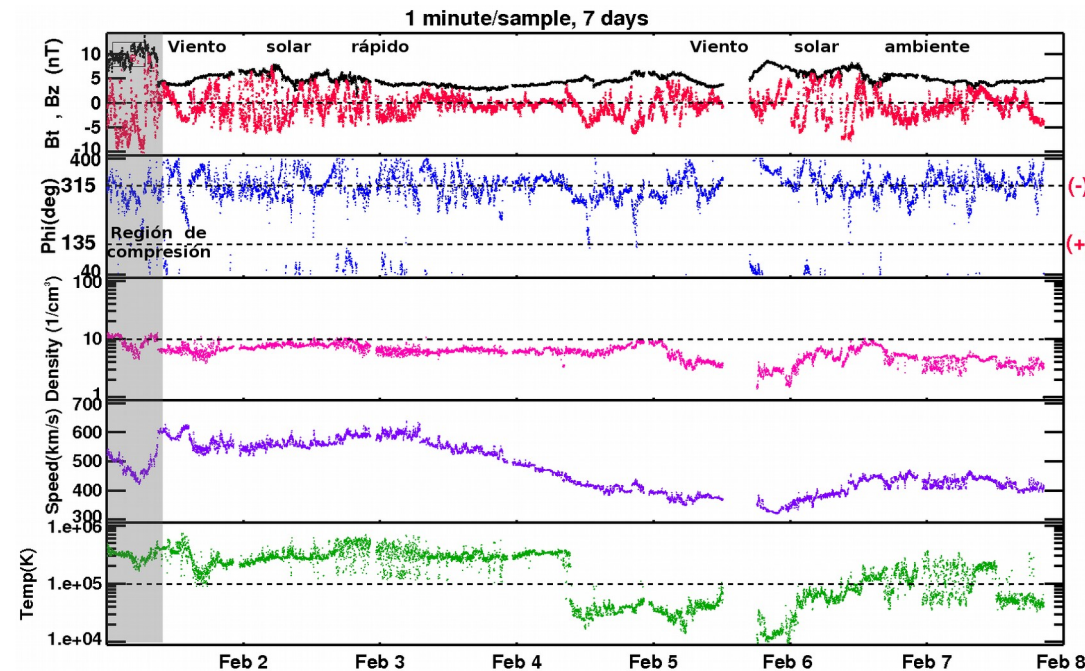


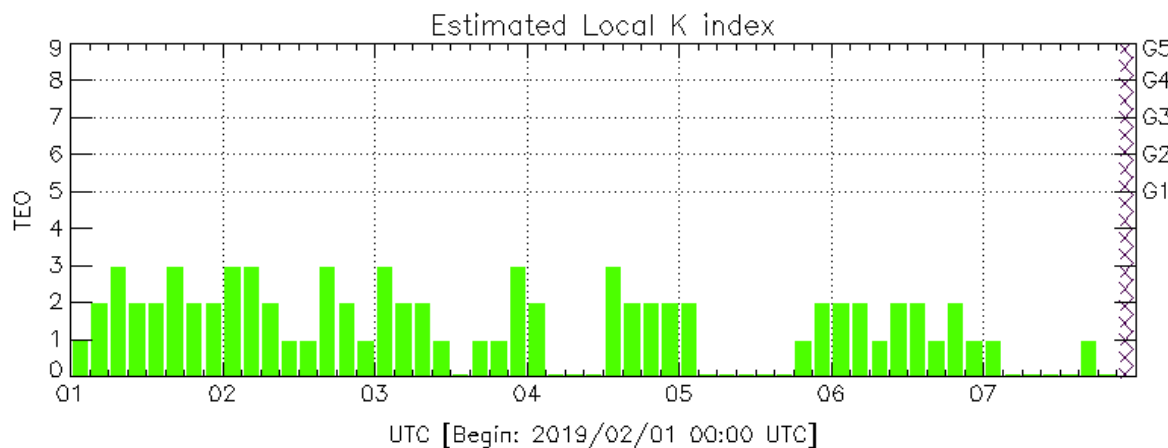
Imagen 3: <http://www.swpc.noaa.gov/products/real-time-solar-wind>

Perturbaciones geomagnéticas: Índices geomagnéticos Kp y Kmex

Imagen: <http://services.swpc.noaa.gov/images/planetary-k-index.gif>

En términos generales, fue una semana quieta en términos de actividad geomagnética.

No se detectaron perturbaciones durante la semana.

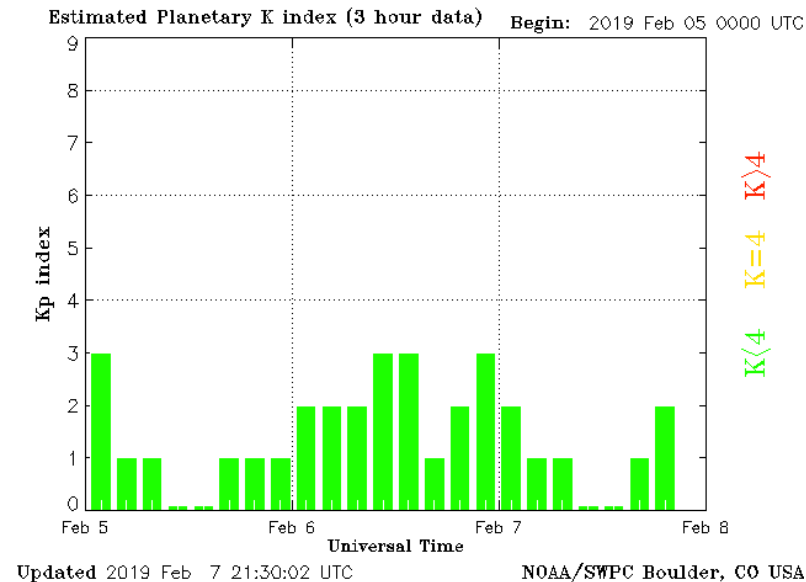


Color Code: ■ quiet, ■ disturbed, ■ storm, XXXX data not available.

TEO: Teoloyucan Geomagnetic Observatory (LAT 19.746, LON -99.193)

LANC/SCIESMEX - Morelia, Mich., MX

Updated: 2019/02/07-21:00 UTC



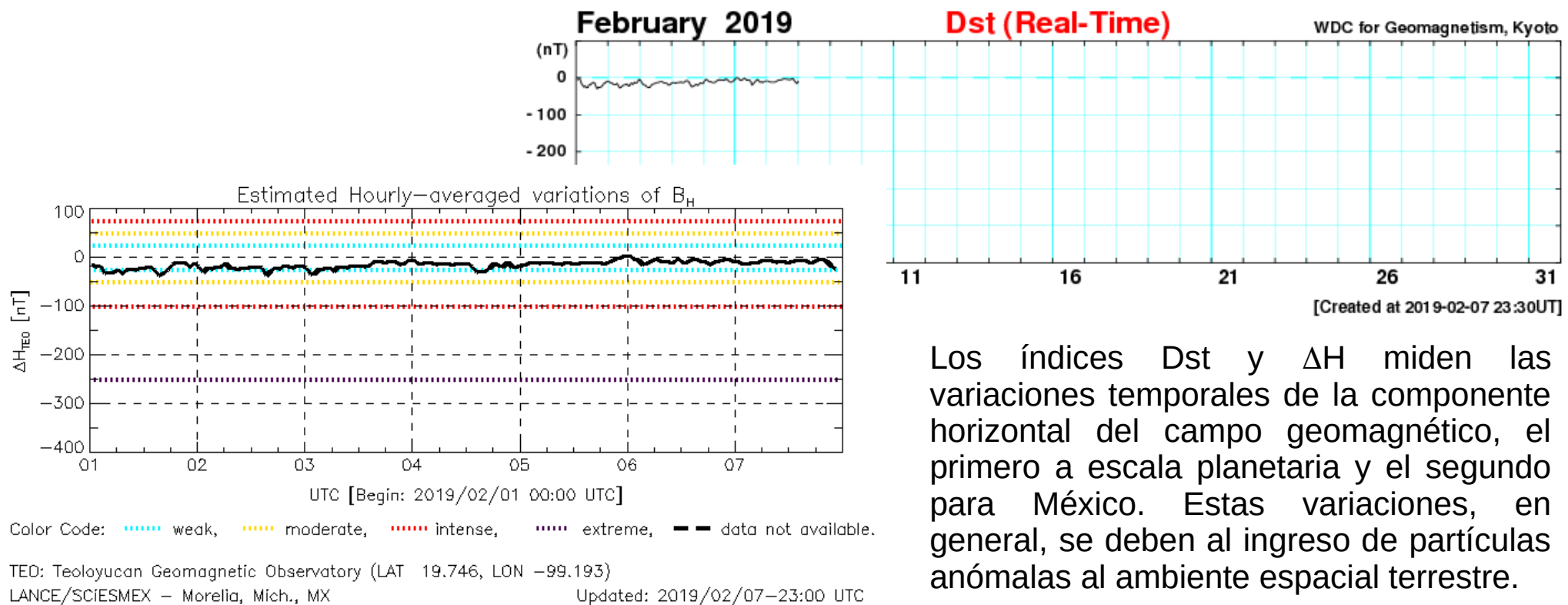
El índice K indica la intensidad de las variaciones del campo magnético terrestre en intervalos de 3 horas. El índice Kp lo expresa a escala planetaria, mientras que el Kmex lo hace para el territorio mexicano.

Perturbaciones geomagnéticas: Índice Dst y ΔH

En términos generales fue una semana quieta.

No se registraron alteraciones en los índices ΔH y Dst.

Imagen: http://wdc.kugi.kyoto-u.ac.jp/dst_realtime/presentmonth/index.html



Los índices Dst y ΔH miden las variaciones temporales de la componente horizontal del campo geomagnético, el primero a escala planetaria y el segundo para México. Estas variaciones, en general, se deben al ingreso de partículas anómalas al ambiente espacial terrestre.

Ionósfera sobre México: TEC en el centro del país (datos)

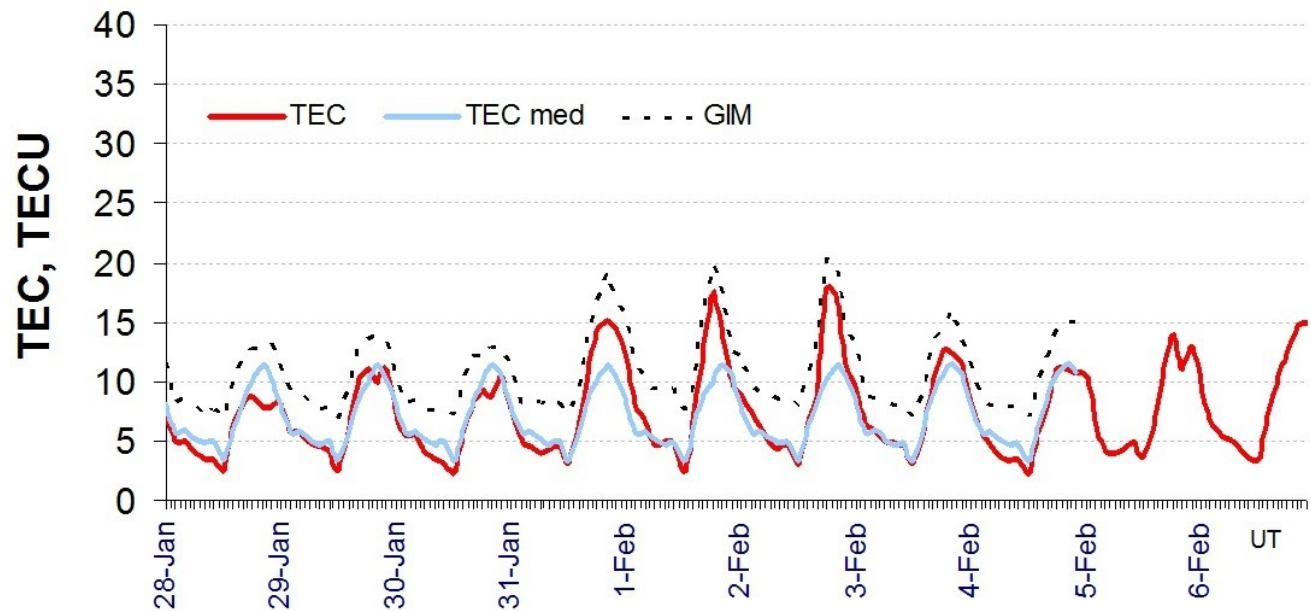
El contenido total de electrones (TEC) es un parámetro que sirve para caracterizar el estado de la ionosfera de la Tierra.

Serie temporal de los valores de TEC (rojo) con referencia a su valor mediano (azul claro) durante 28.01-06.02.2018 con base en los datos de la estación local UCOE (TLALOCNet, UNAVCO) en las instalaciones del Mexart:

Según los datos locales, se observaron los valores de TEC un poco aumentados durante 1-3 de febrero de 2019.

Datos locales están confirmados con datos globales de GIM (punteado).

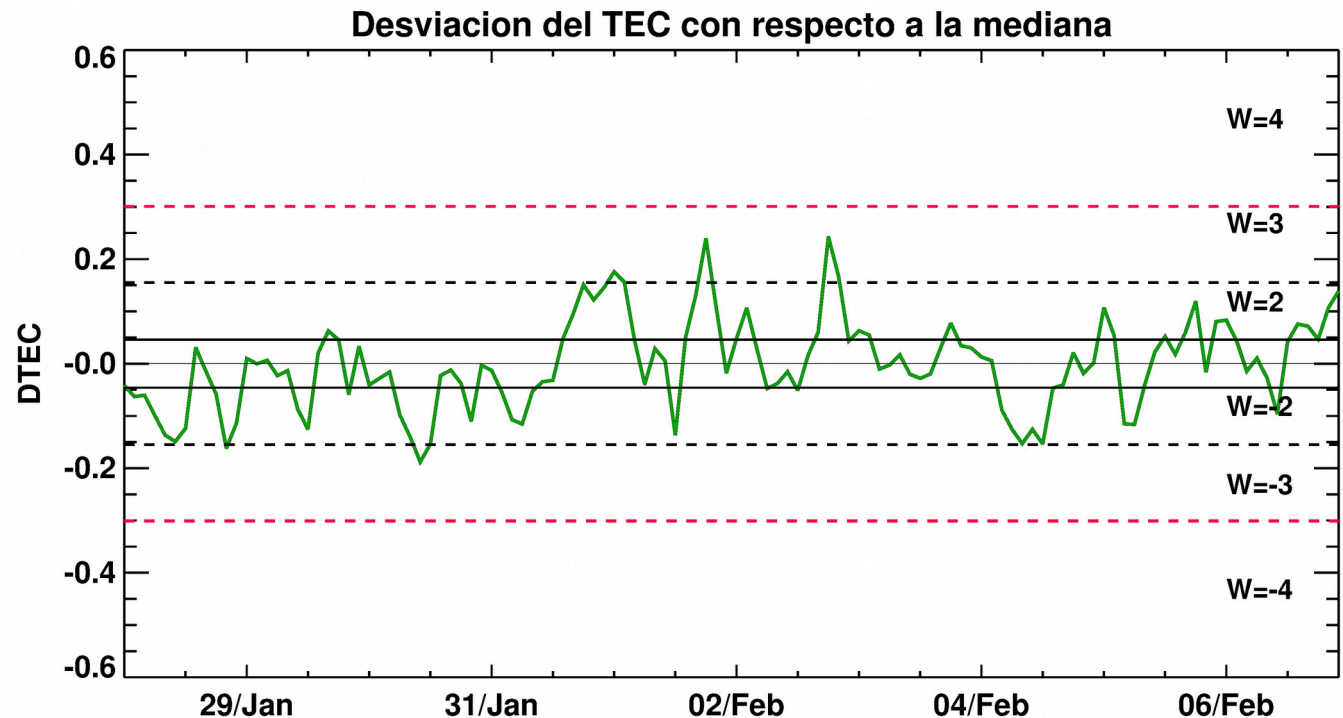
El cálculo se realiza en base de TayAbsTEC software del Instituto de Física Solar-Terrestre, Sección Siberiana de la Academia de Ciencias de Rusia. Referencia: Yasyukevich et al., Influence of GPS/GLONASS Differential Code Biases on the Determination Accuracy of the Absolute Total Electron Content in the Ionosphere, Geomagn. and Aeron., ISSN 0016_7932, 2015.



Ionósfera sobre México: DTEC en el centro del país (datos locales):

Desviación del TEC de su mediana (DTEC) de los 27 días previos al día de observación e índice de clima ionosférico W durante 28.01-06.02.2019 con base en los datos de la estación GPS UCOE (red TLALOCNet del Servicio de Geodesia Satelital) ubicada en las instalaciones del Mexart :

De acuerdo con este índice, no se registraron perturbaciones ionosféricas significativas durante esta semana.

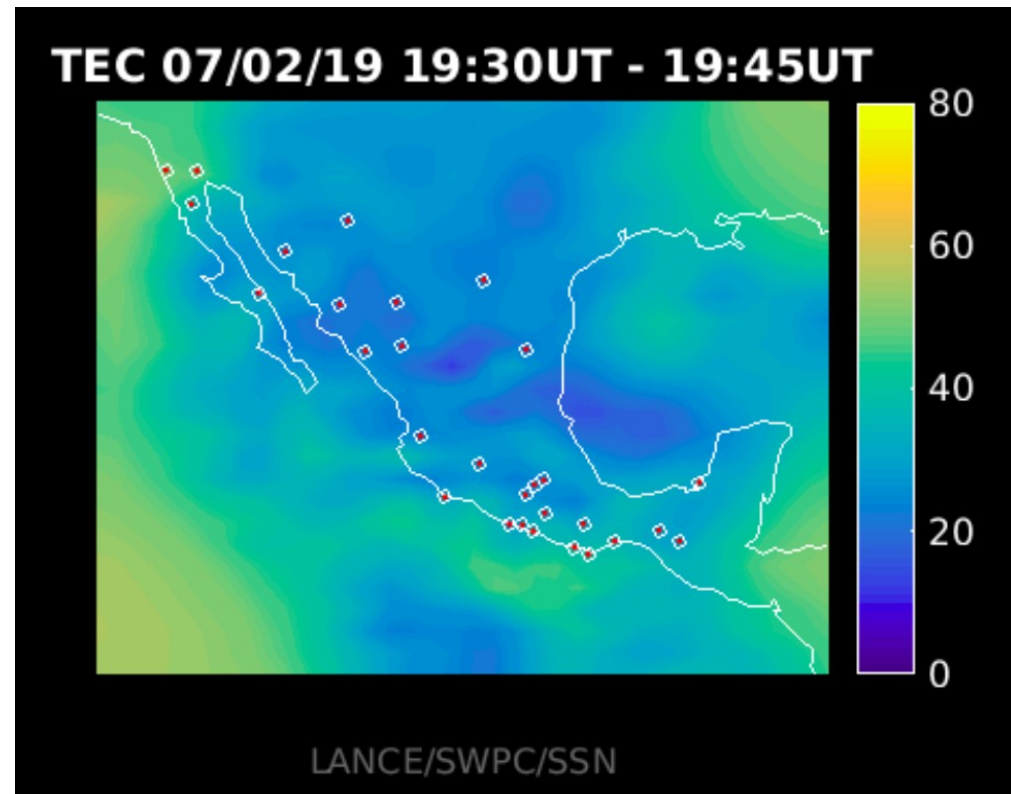


Referencia: Gulyaeva, Arikan, Hernandez-Pajares, Stanislawski. GIM-TEC adaptive ionospheric weather assessment and forecast system. J. Atm. Solar-Terr. Phys., 102, doi:10.1016/j.jastp.2013.06.011, 2013.

AzTEC: Mapas TEC Cercanos a Tiempo Real

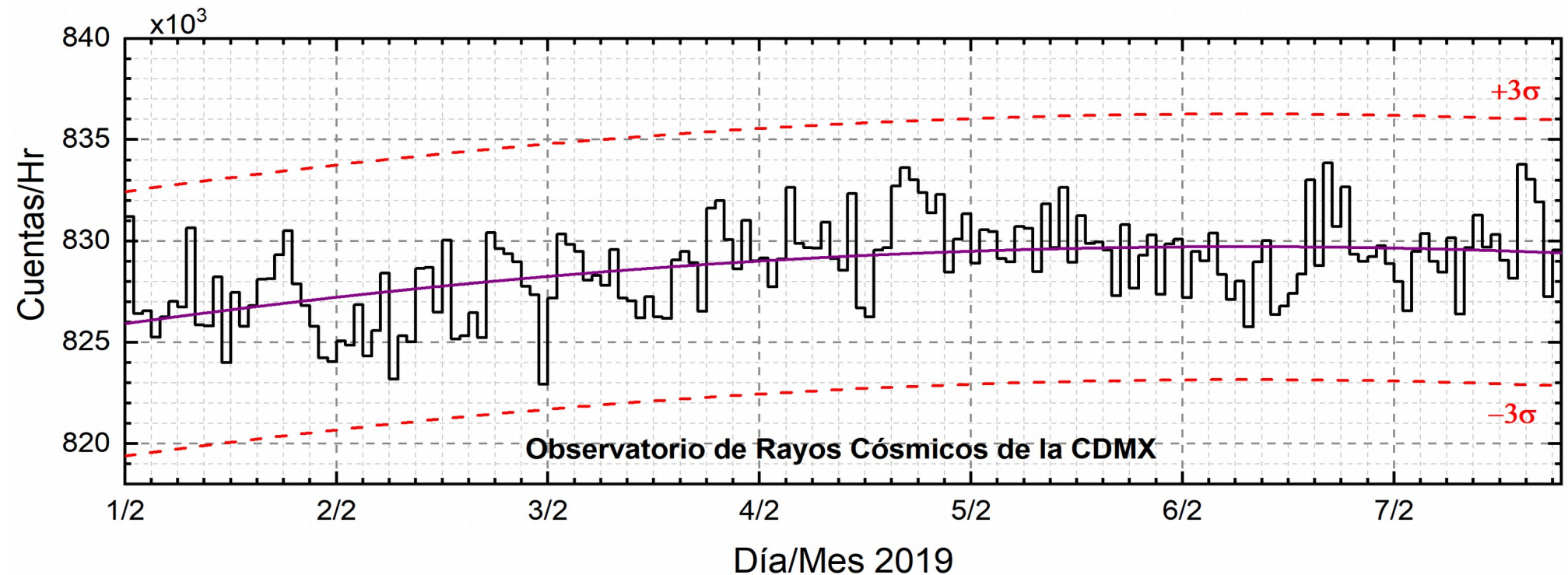
Mapa TEC sobre México mostrando variaciones entre 0 y 80 TECU con una cadencia de 15 minutos y una frecuencia de muestreo de 1 Hz en la recepción de datos en los archivos utilizando la red de GPS del Servicio Sismológico Nacional y TlalocNET.

Mapa TEC del 07 de Febrero de 2019



<http://www.rice.unam.mx:8080/aztec/>

Rayos Cósmicos:



<http://www.cosmicrays.unam.mx/>

Datos del Observatorio de Rayos Cósmicos de la Ciudad de México. La curva púrpura representa el promedio de los datos registrados, las líneas discontinuas rojas representan la significación de los datos (3σ). Cuando se registran variaciones mayores a 3σ , es probable que éstas sean debidas a efectos de emisiones solares en el flujo de rayos cósmicos.

Del 01 al 07 de febrero de 2019, no se detectaron incrementos significativos ($>3\sigma$) en las cuentas de rayos cósmicos galácticos.

UNAM/LANCE/SCiESMEX

Dr. J. Américo González Esparza

Dr. Víctor De la Luz Rodríguez

Dra. Maria Sergeeva

Dr. Pedro Corona Romero

Dr. Julio C. Mejía Ambriz

Dr. Luis Xavier González Méndez

Dr. Ernesto Aguilar-Rodríguez

Dr. José Juan González-Aviles

Dra. Tania Oyuki Chang Martínez

M.C. Elsa Sánchez García

UANL/LANCE

Dr. Eduardo Pérez Tijerina

Dr. Enrique Perez

Dr. Carlos de Meneses Junior

Dra. Esmeralda Romero Hernández

LANCE/MEXART

Ing. Ernesto Andrade Mascote

M.C. Pablo Villanueva Hernández

UNAM ENES-Morelia

Dr. Mario Rodríguez Martínez

Lic. Víctor Hugo Méndez Bedolla

Aranza Fernández Alvarez del Castillo

Callisto/MEXART

Dr. Victor De la Luz

Lic. Elizandro Huipe

Lic. Francisco Tapia

RICE

Dr. Víctor De la Luz

M.C. Enrique Cruz Martinez

RAYOS CÓSMICOS

Dr. José Francisco Valdés Galicia

Fis. Alejandro Hurtado Pizano

Ing. Octavio Musalem Clemente

SERVICIO MAGNÉTICO

M.C. Esteban Hernández Quintero

M.C. Gerardo Cifuentes Nava

Dra. Ana Caccavari Garza

Elaboración: Equipo SCIESMEX

Revisión: Ernesto Aguilar Rodríguez

Agradecimientos

El Laboratorio Nacional de Clima Espacial (LANCE) es parcialmente financiado por: el programa Cátedras CONACYT Proyecto 1045 y el Fondo Sectorial AEM-CONACYT proyecto 2014-01-247722. Agradecemos al proyecto Conacyt – Repositorio Institucional de Clima Espacial 268273. Agradecemos a todos los responsables y colaboradores de instrumentos del LANCE y a las redes de estaciones GPS del Servicio Sismológico Nacional y TalocNET por facilitar sus datos. Agradecemos a Gerardo Cifuentes, Esteban Hernández y Ana Caccavari por los datos del Observatorio magnético de Teoloyucan. De igual forma, agradecemos los servicios de IGS (International GNSS Service) por permitirnos usar los datos IONEX disponibles en: <ftp://cddis.gsfc.nasa.gov/pub/gps/products/ionex>. Los valores de TEC fueron obtenidos a partir de observaciones de las redes GPS del Servicio Sismológico Nacional (SSN), SSN-TLALOCNet y TLALOCNet del Servicio de Geodesia Satelital (SGS). Agradecemos al personal del SSN y del SGS por el mantenimiento de estaciones, la adquisición de datos y el soporte de IT de estas redes. Las operaciones de la red TLALOCNet y SSN-TLALOCNet GPS han sido apoyadas por The National Science Foundation bajo el proyecto EAR-1338091 a UNAVCO Inc., los proyectos CONACyT 253760 y 256012 y los proyectos UNAM-PAPIIT IN109315-3 y IN104818-3 de E. Cabral-Cano y el proyecto UNAM-PAPIIT IN111509 de R. Pérez. De igual forma agradecemos a los proyectos de infraestructura del CONACyT: 253691 y del PAPIIT-DGAPA: IA107116 para el fortalecimiento de equipos como la estación fija de GPS, que forman parte del LACIGE-UNAM, de la ENES unidad Morelia a cargo de M. Rodríguez-Martínez. El cálculo de TEC se realiza: 1) utilizando el software US-TEC que es un producto de operación del Space Weather Prediction Center (SWPC), desarrollado a través de una colaboración entre National Geodetic Survey, National Oceanic and Atmospheric Administration (NOAA) y el Cooperative Institute for Research in Environmental Sciences of the University of Boulder, Colorado, 2) con base en el software TayAbsTEC del Instituto de Física Solar-Terrestre, Sección Siberiana de la Academia de Ciencias Rusa. Parte del procesamiento de datos se lleva a cabo dentro del Centro de Supercómputo de Clima Espacial (CESCOM) del LANCE.

Datos:

Imágenes de coronógrafo, flujo de rayos X y modelo WSA-ENLIL:

<http://www.swpc.noaa.gov/products>

<http://iswa.ccmc.gsfc.nasa.gov/IswaSystemWebApp/>

Imágenes de coronógrafo:

<http://sohowww.nascom.nasa.gov/data/>

Imágenes del disco solar y de la fulguración:

<http://www.solarmonitor.org/>

Detección y caracterización de EMCs:

<http://www.sidc.oma.be/cactus/out/latestCMEs.html>

<http://spaceweather.gmu.edu/seeds/>

ISES:

<http://www.spaceweather.org/>

International Network of Solar Radio Spectrometers (e-callisto):

<http://www.e-callisto.org/>

German Research Center For Geosciences Postdam:

<http://www.gfz-potsdam.de/en/sektion/erdmagnetfeld/daten-dienste/kp-index/>

Data Analysis Center for Geomagnetism and Space Magnetism, Kyoto University:

<http://wdc.kugi.kyoto-u.ac.jp/index.html>

UNAVCO:

<http://www.unavco.org>

SSN:

<http://www.sismologico.unam.mx/>

SOHO Spacecraft NASA:

<http://sohowww.nascom.nasa.gov/>

SDO Spacecraft NASA:

<http://sdo.gsfc.nasa.gov/>

Space Weather Prediction Center NOAA:

<http://www.swpc.noaa.gov>

GOES Spacecraft NOAA:

<http://www.ngdc.noaa.gov/stp/satellite/goes/index.html>

ACE Spacecraft NOAA

<http://www.srl.caltech.edu/ACE/ASC/index.html>